



(11) Numéro de publication : **0 577 487 A1**

(12) **DEMANDE DE BREVET EUROPEEN**

(21) Numéro de dépôt : **93401655.1**

(51) Int. Cl.<sup>5</sup> : **H01L 31/115, H01L 27/146, H01L 27/148, H01L 25/04**

(22) Date de dépôt : **28.06.93**

(30) Priorité : **30.06.92 FR 9208029**

(43) Date de publication de la demande :  
**05.01.94 Bulletin 94/01**

(84) Etats contractants désignés :  
**DE FR GB IT NL**

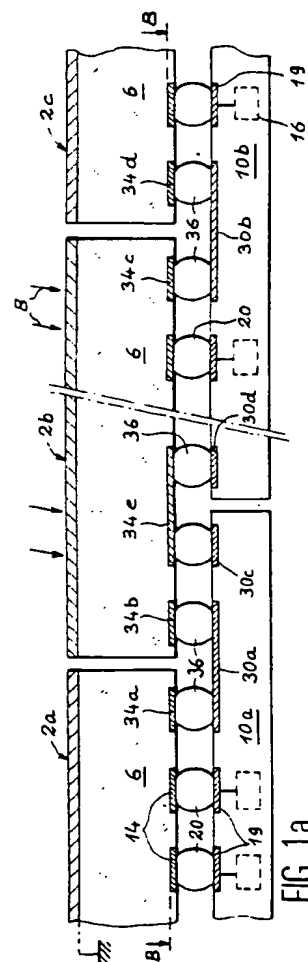
(71) Demandeur : **COMMISSARIAT A L'ENERGIE ATOMIQUE**  
31-33, rue de la Fédération  
F-75015 Paris (FR)

(72) Inventeur : **Jeuch, Pierre**  
13, rue du Parc  
F-38180 Seyssins (FR)  
Inventeur : **Cuzin, Marc**  
Lotissement de Pelletière N 2  
F-38700 Corenc (FR)

(74) Mandataire : **Lhoste, Catherine et al**  
BREVATOME 25, rue de Ponthieu  
F-75008 Paris (FR)

(54) **Dispositif d'imagerie de rayonnements ionisants.**

(57) Le dispositif de l'invention comporte au moins un détecteur (2<sub>a</sub>, 2<sub>b</sub>) plan apte à transformer un rayonnement (8) en charges électriques comportant une électrode commune (12) sur une face d'entrée et une mosaïque d'électrodes points (14) et des bandes métalliques (34<sub>a</sub>-34<sub>e</sub>) sur une face de sortie; plusieurs puces de circuit intégré (10a, 10b) plan disposée en regard de la face d'entrée du détecteur et comportant une mosaïque de circuits de lectures (16) et des bandes métalliques (30a, 30d) pour connecter ces circuits à des dispositifs extérieurs d'alimentation, de commande et de traitement de signaux de sortie, chaque circuit de lecture étant hybridé par une microbille à une électrode point et les bandes de la puce étant disposées en regard des bandes du détecteur et hybridées à celles-ci par microbilles. Ce dispositif est destiné à la mammographie ou à l'imagerie dentaire.



EP 0 577 487 A1

La présente invention a pour objet un dispositif pour l'imagerie, soit d'un rayonnement ionisant tels que des rayonnements X, gamma ou de particules chargées, soit d'un rayonnement lumineux dont la longueur d'onde peut être située dans le domaine du visible de l'ultraviolet ou de l'infrarouge.

Plus spécialement, l'invention s'applique aux rayonnements ionisants non focalisables.

L'imagerie ou la prise d'images d'un rayonnement ionisant permet par projection radiographique ou reconstitution tomographique, l'étude de la matière vivante ou non et par conséquent une analyse non destructive de la structure interne d'objets de dimension et de masse variables notamment dans les domaines médicaux et nucléaires mais aussi dans l'industrie.

Ce dispositif peut être de grande dimension, quelques dizaines de cm<sup>2</sup> à quelques centaines de cm<sup>2</sup> de surface, principalement pour la mammographie ou de petite dimension, quelques centaines de mm<sup>2</sup>, par exemple pour l'imagerie dentaire intra-buccale. Dans ce dernier cas, le dispositif peut présenter une épaisseur totale de 3 mm ; cette compacité est très importante pour ne pas gêner le patient ni le praticien.

Un dispositif d'imagerie comporte de façon connue une partie détectrice du rayonnement constituée d'un ou plusieurs détecteurs transformant le rayonnement incident en charges électriques et comportant des électrodes pour collecter ces charges et une partie traitement des signaux électriques résultant de la collection des charges, constituée de circuits intégrés pour amplifier ces signaux électriques et d'un dispositif extérieur de traitement et de mémorisation des signaux délivrés par ces circuits intégrés.

En outre, chaque détecteur est structuré en points élémentaires d'affichage ou pixels agencés selon les lignes et les colonnes d'une matrice.

Dans un premier type de détecteur, on utilise un matériau semi-conducteur équipé d'électrodes points réparties sous forme matricielle. Dans ce type de détecteur, la connexion électrique des circuits de lecture à chaque détecteur est assurée de façon connue par hybridation par microbilles, pixel par pixel.

Un tel système est notamment décrit dans le document M. Campbell et al. (A 10 MHz micro power CMOS front-end for direct readout of pixel detectors, IEEE Nuclear Science Symposium USA, 1989, p.1-8) et dans les documents EP-A-0 415 541 et EP-A-0 462 345.

Dans un autre type de détecteur, on utilise des dispositifs à transfert de charge (CCD) irradiés directement. L'irradiation de ces CCD provoque un vieillissement prématuré qui se traduit par une perte de sensibilité et des pixels défectueux.

En radiographie dentaire, le rayonnement X utilisé a une énergie élevée de 30 keV à 60 keV. En outre, le dispositif d'imagerie a une épaisseur faible généralement de 300 µm à 500 µm, ce qui lui confère un pouvoir d'arrêt des rayons X que de quelques pour

cent (< à 10%). Il en résulte que 90% des photons X (et donc de la dose) sont imposés inutilement au patient, ce qui est un inconvénient majeur.

5 Pour la mammographie, on utilise des rayons X ayant une énergie de 15 keV à 25 keV.

Pour la réalisation de dispositifs d'imagerie de grande dimension, il est connu d'utiliser plusieurs matrices de détecteurs accolées bord à bord comme décrit dans le document EP-A-245 147 ou agencées comme les tuiles d'un toit comme décrit dans le document EP-A-421 869.

10 Dans le document EP-A-245 147, le détecteur est un scintillateur épais transformant le rayonnement ionisant en lumière visible, associée à une photodiode structurée en pixels.

15 Ces dispositifs d'imagerie conduisent en général à des images présentant des zones d'ombres et des pertes d'informations.

20 L'invention a pour objet un nouveau dispositif d'imagerie utilisant l'hybridation par microbilles des circuits de lecture, pixel par pixel, permettant notamment de remédier à ces inconvénients.

De façon précise l'invention a pour objet un dispositif d'imagerie d'un rayonnement comportant au moins un détecteur plan apte à transformer le rayonnement en charges électriques et comportant une électrode commune sur une face d'entrée destinée à recevoir le rayonnement, une mosaïque d'électrodes points et des bandes métalliques sur une face de sortie opposée à la face d'entrée ; des puces de circuits intégrés plan disposées en regard de la face de sortie du détecteur et comprenant une mosaïque de circuits de lecture, un circuit d'adressage connecté aux circuits de lecture et des bandes métalliques pour connecter les circuits de lecture et d'adressage à des circuits extérieurs d'alimentation, de commande et de traitement des signaux de sortie, chaque circuit de lecture étant hybridé par une microbille à une électrode point, les bandes métalliques de la puce de circuits intégrés étant disposées en regard des bandes métalliques du détecteur et hybridées à celles-ci par microbilles.

45 De préférence, le détecteur consiste en un matériau semiconducteur massif revêtu sur une de ces faces de l'électrode commune et sur la face opposée des électrodes points. Ce matériau semiconducteur peut être réalisé en n'importe quel matériau semiconducteur connu tel que le germanium, le silicium, les alliages binaires, ternaires ou quaternaires d'éléments III et V ou d'éléments II et VI de la classification périodique des éléments.

50 Afin d'obtenir un fort pouvoir d'arrêt des rayons X par le détecteur, et donc de diminuer la dose d'irradiation notamment dans le domaine médical, on utilise un matériau semiconducteur de numéro atomique moyen élevé, supérieur à 30. Le numéro atomique moyen est défini comme la somme des numéros atomiques des corps simples constituant le détecteur di-

visée par le nombre d'atomes du matériau (par exemple) pour CdTe,  $z$  moyen = 50). Ainsi, pour un détecteur en CdTe de 800  $\mu\text{m}$ , 99% d'un rayonnement X de 40 keV sont arrêtés et la dose imposée au patient peut être réduite d'un facteur 10.

De plus, la bande d'énergie interdite doit être aussi élevée que possible, supérieure à 1,30 eV.

Ce semiconducteur est en particulier du silicium, du GaAs ou mieux du CdTe ou du  $\text{HgI}_2$  de haute résistivité électrique (par exemple  $10^9$  ohms.cm pour CdTe).

L'utilisation d'un semiconducteur massif homogène de haute résistivité permet de limiter le courant de fuite entre l'électrode commune et les électrodes points. De plus, l'emploi d'un semiconducteur améliore la qualité spatiale de l'image et son contraste par rapport à l'emploi d'un scintillateur puisqu'un photon crée des charges dans un faible volume de semiconducteur (quelques  $\mu\text{m}^3$  pour un photon X de 40 keV), alors que l'information peut diffuser latéralement dans le scintillateur. Ceci permet la réalisation d'un détecteur de forte épaisseur (500 à 1000  $\mu\text{m}$ ), améliorant son pouvoir d'arrêt du rayonnement.

Par ailleurs, le rendement d'un semiconducteur est supérieur à celui d'un scintillateur et peut aller jusqu'à 50%, et sa sensibilité est améliorée. Ainsi, des microcalcifications inférieures à 100  $\mu\text{m}$  peuvent être détectées dans un sein.

Il est toutefois possible d'utiliser une jonction PN ou encore un contact Schottky redresseur. Par ailleurs, le détecteur peut être un scintillateur convertissant le rayonnement ionisant en lumière visible, recouvrant une photodiode structurée en points élémentaires d'affichage et assurant la transformation de la lumière en un signal électrique.

Pour la réalisation d'un dispositif d'imagerie de grande dimension, on utilise plusieurs détecteurs accolés bord à bord et disposés sous forme d'une matrice, ces détecteurs étant connectés entre eux et associés à plusieurs puces de circuits intégrés accolées bord à bord, connectées entre elles et agencées aussi sous forme d'une matrice.

Les puces de circuits intégrés ont les mêmes dimensions que les détecteurs ou des dimensions égales à un multiple ou un à sous-multiple entier des dimensions de ces détecteurs.

De façon avantageuse, les puces de circuits intégrés sont décalées par rapport aux détecteurs selon une ou deux directions perpendiculaires contenues dans un plan parallèle à celui des détecteurs, de façon à être partiellement en regard de deux ou quatre détecteurs adjacents.

De façon avantageuse, la liaison électrique entre deux détecteurs consécutifs est assurée par une bande métallique formée sur la puce de circuits intégrés partiellement en regard de ces deux détecteurs consécutifs et par des microbilles.

De façon avantageuse, la liaison électrique entre

deux puces consécutives est assurée par une bande métallique formée sur le détecteur partiellement en regard de ces deux puces consécutives et par des microbilles.

Dans une variante de réalisation, les liaisons électriques inter-détecteurs et les liaisons électriques inter-circuits intégrés peuvent être décalées respectivement d'une colonne ou d'une ligne à l'autre. Ceci permet une connexion latérale du dispositif de l'invention aux circuits extérieurs d'alimentation, de commande et de traitement de signaux.

Dans le cas de  $n$  puces agencées selon une même ligne de la matrice de puces et de  $n$  bandes métalliques spécifiques numérotées de 1 à  $n$  pour véhiculer vers le circuit de traitement les signaux de sortie spécifiques de ces  $n$  puces, ces bandes comportant une entrée et une sortie, l'extrémité de sortie de la  $i^{\text{ème}}$  bande est reliée à l'extrémité d'entrée de la  $(i+1)^{\text{ème}}$  bande avec  $1 \leq i \leq n$ ,  $i$  et  $n$  étant des entiers avec  $n \geq 2$ , la première bande d'une puce déterminée délivrant le signal de sortie spécifique de ladite puce déterminée.

D'autres caractéristiques et avantages de l'invention ressortiront mieux à la description qui va suivre, donnée à titre illustratif et non limitatif, en référence aux figures annexées, dans lesquelles :

- les figures 1a et 1b représentent schématiquement, en coupe longitudinale et en vue de dessus selon le plan B-B de la figure 1a, un dispositif d'imagerie conforme à l'invention,
- la figure 1c représente le schéma électrique équivalent d'un ensemble détecteur-puce du dispositif de l'invention,
- la figure 2 représente de façon agrandie selon une première variante les connexions entre un détecteur et la puce de circuit intégré associée, conformément à l'invention,
- la figure 3 illustre une variante de réalisation du dispositif de l'invention,
- les figures 4 et 5 représentent schématiquement en coupe des variantes de réalisation des connexions entre le détecteur et la puce de circuit intégré associée,
- la figure 6 représente schématiquement un mode de réalisation des connexions respectivement entre les puces et les détecteurs conformément à l'invention.

Le dispositif d'imagerie conforme à l'invention, représenté sur les figures 1a et 1b comporte plusieurs détecteurs plans 2a, 2b, 2c, 2d, 2e, 2f disposés bord à bord de façon à former une matrice de détecteurs comportant des lignes et des colonnes.

Ces détecteurs comportent chacun un matériau solide semi-conducteur 6 homogène et de haute résistivité par exemple en silicium, GaAs, CdTe ou  $\text{HgI}_2$  comportant une face d'entrée destinée à recevoir un rayonnement ionisant 8 et une face de sortie opposée à la face d'entrée disposée en regard de puces 10a, 10b, 10c, 10d de circuits intégrés, réalisées sur sili-

cium. Le rayonnement 8 provient par exemple d'un objet à analyser irradié.

La face d'entrée de chaque détecteur 2a-2f comporte une électrode commune 12 la recouvrant totalement alors que la face de sortie supporte des électrodes points 14 agencées selon une mosaïque. Ainsi, chaque détecteur 2a-2f est structuré par sa face de sortie en points élémentaires d'images ou pixels. Les électrodes communes 12 et points 14 sont réalisées en métal tel que l'aluminium de 1  $\mu\text{m}$  d'épaisseur.

Lorsqu'un détecteur semi-conducteur reçoit un rayonnement ionisant 8, il engendre des paires électrons trous dans le semi-conducteur 6 qui sont collectées par les électrodes 12 et 14.

L'épaisseur du semiconducteur 6 dépend du matériau utilisé, de l'énergie des rayonnements à détecter et de l'application envisagée. Par exemple on utilise une épaisseur de 500  $\mu\text{m}$  pour détecter des rayons X de quelques dizaines de KeV avec du CdTe. De même, les dimensions surfaciques des électrodes points, et donc des pixels, dépendent de l'application recherchée.

Typiquement en radiographie, tomographie ou mammographie, ces électrodes points ont des dimensions de 100x100  $\mu\text{m}^2$  ou 80x80  $\mu\text{m}^2$  et sont séparées d'une distance de 20  $\mu\text{m}$ .

Les puces 10a-10d de circuits intégrés comportent chacune une mosaïque de circuits de lecture 16 formant des lignes et des colonnes.

Le nombre de puces de circuits intégrés est égal au nombre de détecteurs et ce nombre dépend de l'application envisagée. De plus, les dimensions des puces et des détecteurs dans le plan xy parallèle aux faces de sortie des détecteurs sont identiques.

En particulier chaque détecteur et chaque puce comporte dans le plan xy une surface de 1,5x1,5  $\text{cm}^2$ . En outre, les dimensions des électrodes points 14 dans le plan xy sont identiques à celles des circuits de lecture 16.

La connexion entre chaque électrode point 14 et entre le plot de contact 19 de chaque circuit de lecture 16 est assurée par une bille d'indium 20.

Sur la figure 1c on a représenté le schéma électrique équivalent d'un ensemble détecteur-puce de l'invention montrant notamment les connexions extérieures d'alimentation, de commande et de sortie.

Chaque pixel d'un détecteur est représenté par un condensateur 22 dont les armatures sont les électrodes 12 et 14, l'électrode 12 étant portée au potentiel de la masse. Ce condensateur 20 est connecté via une bille d'indium 20 à un amplificateur 24 puis à un commutateur 26 du type transistor MOS de lecture du pixel.

Ces commutateurs 26 sont activés les uns après les autres via des lignes et des colonnes d'adressage par le circuit 28 d'adressage séquentiel (appelé circuit scrutateur). Ce circuit 28 adresse donc chaque pixel

de détection les uns après les autres en engendrant leur adresse à partir d'une horloge externe H.

Le circuit d'adressage 28 est aussi relié à une source externe d'alimentation électrique délivrant une tension d'alimentation Vdd par rapport à la masse ou tension fixe de référence Vss. En outre ce circuit 28 est relié à un circuit externe d'initialisation de lecture délivrant un signal R<sub>az</sub>.

Par ailleurs chaque transistor 26 délivre après son adressage un signal de sortie V<sub>out</sub> spécifique du rayonnement ionisant 8 ayant frappé le pixel correspondant.

Le signal vidéo engendré (ou succession des signaux V<sub>out</sub>) est traité dans un dispositif extérieur de traitement et de mémorisation des informations, du type micro-processeur.

L'objet de l'invention ne concerne pas la fonctionnalité ou la disposition de ces différents composants 24, 26 et 28 dans chaque puce mais la façon de connecter ces puces aux signaux d'alimentation Vdd, d'horloge H, d'initialisation de lecture R<sub>az</sub>, ainsi que la connexion à la masse de ces puces, via les détecteurs servant de support de connexion.

L'invention porte aussi sur la façon de connecter la sortie spécifique V<sub>out</sub> de chaque puce au circuit de traitement et de mémorisation externe.

Pour connecter chaque puce 10a-10d à l'extérieur respectivement à la source d'alimentation électrique, à la masse, au circuit d'initialisation, à l'horloge et au dispositif de traitement, l'invention propose la réalisation de bandes métalliques 30a, 30b, 30c, 30d supplémentaires à la surface de chaque puce comme représenté sur les figures 1a, 1b et 2. Sur la figure 2 la référence 32 représente la couche de passivation finale en silice de la puce qui comporte, par rapport à l'art antérieur, des ouvertures 33 en regard des métallisations supplémentaires 30a-30d des puces.

De même, les faces de sortie de chaque détecteurs 2a-2f comportent des bandes métalliques supplémentaires 34a, 34b, 34c, 34d, 34e faisant face aux bandes métalliques 30a-30d des puces. Comme pour les métallisations 30a-30d des puces, les métallisations 34a-34e des détecteurs sont recouvertes d'une couche de passivation 38 en silice équipée d'ouvertures 40 en regard des métallisations 34a-34e.

Les métallisations 30a-30d et 34a-34e sont réalisées par exemple en aluminium sur 1  $\mu\text{m}$  d'épaisseur.

Conformément à l'invention, la connexion de ces bandes 30a-30d avec les bandes 34a-34e est assurée à l'aide de microbilles 36 d'indium comme la connexion des électrodes points 14 aux plots de contact 19 des transistors 24 des circuits de lecture.

Selon une première variante de réalisation, représentée sur la figure 2, les métallisations 34a-34e formées sur chaque détecteur sont isolées électriquement des électrodes points 14 par des bandes isolantes 42 de dimensions surfaciques supérieures

a celles des métallisations 34a-34e. Ces bandes isolantes 42 sont en particulier en polyimide de 5µm d'épaisseur.

Comme représenté sur les figures 1a et 1b, et selon l'invention, les puces 10a-10d sont décalées par rapport aux détecteurs d'environ un pas selon une direction par exemple x ou comme représenté sur la figure 3 selon deux directions xy. Ainsi, chaque puce se trouve partiellement en regard de deux ou quatre détecteurs ; par exemple la puce 10a est en regard des détecteurs 2a, 2b (figures 1a-1b) et éventuellement aussi en regard des détecteurs 2d, 2e.

Conformément à l'invention les détecteurs 2a-2f sont reliés électriquement entre eux par des liaisons électriques connectées aux métallisations 34a-34d et les puces 10a-10d sont reliées électriquement entre elles par des liaisons électriques connectées aux métallisations 30c, 30d de sorte que les signaux d'entrée ( $V_{dd}$ ,  $V_{ss}$ ,  $R_{az}$ , H) sont appliqués latéralement sur l'ensemble du dispositif d'imagerie et que les signaux de sortie  $V_{out}$  sont aussi récupérés sur l'un des côtés du dispositif d'imagerie.

Selon l'invention les liaisons électriques entre deux détecteurs consécutifs sont constituées des métallisations formées sur la puce disposée en regard des bords de ces deux détecteurs à connecter (voir figure 1b), et des microbilles 36 connectant les métallisations de cette puce aux métallisations de ces détecteurs.

Par exemple la métallisation 30a de la puce 10a est connectée aux métallisations périphériques 34a et 34b respectivement des détecteurs 2a et 2b, via les billes 36 en regard, assurant ainsi l'interconnexion de ces deux détecteurs. De même, la métallisation 30b de la puce 10b est connectée aux métallisations périphériques 34c et 34d respectivement des détecteurs 2b et 2c via les billes 36 en regard, assurant ainsi l'interconnexion de ces deux détecteurs.

Parallèlement les liaisons entre deux puces consécutives sont réalisées à l'aide des métallisations formées sur le détecteur en regard des bords respectivement des deux puces à connecter et des microbilles 36 en regard de ces métallisations. Par exemple (figure 1b) la métallisation 34e du détecteur 2b assure la connexion des métallisations 30d, respectivement des puces 10a et 10b via les billes d'indium 36 en regard et donc l'interconnexion des puces 10a et 10b.

Sur la figure 4 on a représenté une variante de réalisation des métallisations 34a-34e de la face de sortie des détecteurs permettant en particulier de découpler les électrodes points 14 de ces métallisations. A cet effet, on utilise de part et d'autre de chaque métallisation 34a, 34e deux bandes conductrices 44 et 46 et une métallisation 48 interposée entre l'isolant d'électrodes 42 et les métallisations 34a, 34e, 44 et 46. La bande de métallisation 48 est en outre isolée des métallisations 34a, 34e, 44 et 46 par un isolant 50

par exemple en polyimide.

Les métallisations 44 et 46 sont réalisées en même temps que les métallisations 34a, 34e dans une même couche d'aluminium. La couche 48 est formée par gravure d'une couche d'aluminium de 1µm d'épaisseur et sert d'écran entre les électrodes points 14 et les métallisations 34a, 34e. Pour compléter cet effet d'écran latéral, les métallisations 44 et 46 sont reliées à la masse ou à un potentiel fixe.

Sur la figure 5 on a représenté une autre variante de réalisation des métallisations de la face de sortie des détecteurs pour assurer leur interconnexion. Dans cette variante les métallisations telles que 34a, 34e consistent en des électrodes points. Cette solution à l'inconvénient de supprimer des électrodes points aux emplacements destinés aux métallisations d'interconnexions des détecteurs et des puces. En revanche, cette solution est beaucoup plus simple à réaliser que celle représentée sur les figures 2 et 4.

Les signaux d'alimentation  $V_{dd}$ , la masse  $V_{ss}$ , les signaux d'initialisation de lecture  $R_{az}$  et d'horloge H sont envoyés simultanément et en parallèle sur toutes les puces 10a-10d. Ces signaux sont donc appliqués à des connexions communes à toutes les puces. En revanche, le signal de sortie  $V_{out}$  est spécifique à chaque puce 10a-10d.

En vue d'une radiographie, il est nécessaire d'individualiser les signaux  $V_{out}$  délivrés par chaque puce. Pour ce faire, il est possible de personnaliser chaque puce de façon que le signal  $V_{out}$  sorte à un endroit différent d'une puce à une autre. Ceci oblige une personnalisation de chaque puce au moment de la fabrication ce qui est contraire à la fabrication en série et complique quelques peu le dispositif d'imagerie.

Aussi, pour que les signaux de sortie  $V_{out}$  des différentes puces du dispositif sortent toutes du même côté du dispositif en parallèle, l'invention propose une connexion originale des différentes sorties comme représentée sur la figure 6.

Sur cette figure on a représenté quatre puces ( $n=4$ )  $10_1$ ,  $10_2$ ,  $10_3$ ,  $10_4$  d'une même ligne de la matrice de puces, décalées selon la direction x par rapport à des détecteurs  $2_1$ ,  $2_2$ ,  $2_3$ ,  $2_4$  d'une même ligne de la matrice de détecteurs. Chaque puce  $10_i$  (avec i allant de 1 à 4) comporte quatre métallisations supplémentaires  $30_1$ ,  $30_2$ ,  $30_3$ , et  $30_4$  (représentées en trait fin). De même chaque détecteur  $2_i$  comporte des métallisations supplémentaires  $34_1$ ,  $34_2$ ,  $34_3$ ,  $34_4$  représentées sous forme de bandes.

Conformément à l'invention, l'extrémité de sortie de la métallisation  $30_i$  de chaque puce  $10_i$  est connectée à l'extrémité d'entrée de la métallisation  $30_{i+1}$  de la puce suivante  $10_{i+1}$ , via la métallisation  $34_i$  formée sur le détecteur  $2_i$ , en regard respectivement des deux puces successives  $10_i$  et  $10_{i+1}$ , la connexion étant assurée comme précédemment à l'aide de microbilles.

Ainsi, l'extrémité de sortie de la métallisation  $30_2$

de la puce 10<sub>1</sub> par exemple est connectée à l'extrémité d'entrée de la métallisation 30<sub>3</sub> de la puce 10<sub>2</sub> via la métallisation 34<sub>2</sub> formée sur le détecteur 2<sub>1</sub> en regard des puces 10<sub>1</sub> et 10<sub>2</sub> et à l'aide des microbilles en regard de ces métallisations.

Ainsi, la sortie 30<sub>4</sub> de la puce 10<sub>4</sub> fournit le signal  $V_{out}$  issu de la puce 10<sub>1</sub>. De même, la sortie de la métallisation 30<sub>3</sub> de la puce 10<sub>4</sub> produit le signal  $V_{out}$  issu de la puce 10<sub>2</sub> et la sortie de la métallisation de la puce 30<sub>1</sub> de la puce 10<sub>4</sub> fournit la signal  $V_{out}$  issu de la puce 10<sub>4</sub>.

Cette méthode de connexion permet la réalisation de puces identiques avec leur trou de contact délivrant la tension  $V_{out}$  au même endroit facilitant ainsi leur fabrication. Cette individualisation des signaux de sortie est possible grâce à la technique de microbilles, de décalage d'un pas des détecteurs par rapport aux puces et de l'utilisation respectivement des détecteurs comme support de métallisations entre les puces pour leur connexion, via les microbilles, et des puces comme support de métallisations entre les détecteurs pour leur connexion, via les microbilles.

Au lieu de réaliser les métallisations 30<sub>i</sub> des puces selon la direction x et de réaliser les métallisations 34<sub>i</sub> des détecteurs de façon oblique (figure 6), il est possible de réaliser les métallisations 34<sub>i</sub> parallèlement à la direction x et d'orienter dans ce cas, les métallisations 30<sub>i</sub> des puces en oblique.

Dans le cas d'un dispositif d'imagerie dentaire intra-buccale, l'ensemble détecteurs-puces de circuits intégrés peut être logé dans un boîtier étanche, électriquement isolant comportant une fenêtre en matériau transparent aux rayons X.

## Revendications

1. Dispositif d'imagerie d'un rayonnement comportant au moins un détecteur (2a-2f, 2i) plan apte à transformer le rayonnement (8) en charges électriques et comportant une électrode commune (12) sur une face d'entrée destinée à recevoir le rayonnement, une mosaïque d'électrodes points (14) et des bandes (34a-34e, 34i) métalliques sur une face de sortie opposée à la face d'entrée ; plusieurs puces de circuits intégrés plan disposées en regard de la face de sortie du détecteur et comprenant une mosaïque de circuits de lecture (16), un circuit d'adressage (28) connecté aux circuits de lecture et des bandes métalliques (30a-30d, 30i) pour connecter les circuits de lecture et d'adressage à des circuits extérieurs d'alimentation, de commande et de traitement des signaux de sortie, chaque circuit de lecture étant hybridé par une microbille (20) à une électrode point (14), les bandes métalliques de la puce de circuits intégrés étant disposées en regard des bandes métalliques du détecteur et hybridées à celles-ci par

microbilles (36).

2. Dispositif selon la revendication 1, caractérisé en ce que plusieurs niveaux de bandes métalliques (34<sub>i</sub>, 48) isolés les uns des autres sont prévus sur la face de sortie du détecteur.
3. Dispositif selon la revendication 1 ou 2, caractérisé en ce que le détecteur consiste en un matériau semiconducteur massif (6) revêtu sur une face de l'électrode commune (12) et sur une face opposée des électrodes points (14).
4. Dispositif selon l'une quelconque des revendications précédentes, caractérisé en ce que les bandes métalliques du détecteur sont isolées électriquement des électrodes points du détecteur par une couche d'isolant électrique (42).
5. Dispositif selon l'une quelconque des revendications précédentes, caractérisé en ce qu'il comporte plusieurs détecteurs (2<sub>i</sub>) accolés bord à bord, disposés sous forme de lignes et de colonnes d'une première matrice, connectés entre eux par des liaisons électriques, et plusieurs puces de circuits intégrés (10<sub>i</sub>) accolées bord à bord et disposées sous forme de lignes et de colonnes d'une seconde matrice faisant face à la première et connectées entre elles par des liaisons électriques.
6. Dispositif selon l'une quelconque des revendications 1 à 5, caractérisé en ce que les dimensions de la ou des puces sont les mêmes que celles du ou des détecteurs.
7. Dispositif selon la revendication 5 ou 6, caractérisé en ce que les puces (10<sub>i</sub>) de circuits intégrés sont décalées de façon à être partiellement en regard d'au moins deux détecteurs consécutifs (2<sub>i</sub>, 2<sub>i+1</sub>).
8. Dispositif selon la revendication 7, caractérisé en ce que la liaison électrique entre deux puces consécutives est assurée par une bande métallique (34e, 34i) formée sur le détecteur partiellement en regard de ces deux puces consécutives et par des microbilles (36).
9. Dispositif selon la revendication 7 ou 8, caractérisé en ce que la liaison électrique entre les bandes métalliques (34a-d, 34i) de deux détecteurs consécutifs est assurée par une bande métallique (30a-30d, 30i) formée sur la puce de circuits intégrés partiellement en regard de ces deux détecteurs consécutifs et par des microbilles (36).
10. Dispositif selon l'une quelconque des revendica-

- tions 5 à 9, caractérisé en ce qu'il comporte  $n$  puces ( $10_1$ -  $10_n$ ) sur une même ligne de la seconde matrice et  $n$  bandes métalliques ( $30i$ ) spécifiques numérotées de 1 à  $n$  pour véhiculer vers le circuit de traitement les signaux de sortie spécifiques ( $V_{out}$ ) de ces  $n$  puces, ces bandes comportant une entrée et une sortie, l'extrémité de sortie de la  $i^{\text{ème}}$  bande étant reliée à l'extrémité d'entrée de la  $(i+1)^{\text{ème}}$  bande avec  $1 \leq i \leq n$ ,  $i$  et  $n$  étant des entiers avec  $n \geq 2$ , la première bande d'une puce déterminée délivrant le signal de sortie spécifique de ladite puce déterminée.
- 5
- 10
11. Dispositif selon l'une quelconque des revendications 3 à 10, caractérisé en ce que le semiconducteur présente un numéro atomique moyen supérieur à 30.
- 15
12. Dispositif selon l'une quelconque des revendications 3 à 11, caractérisé en ce que le semiconducteur est choisi parmi le silicium, l'arséniure de gallium, le tellure de cadmium ou l'iodure mercurique de haute résistivité.
- 20
13. Dispositif d'imagerie dentaire intra-buccale, caractérisé en ce qu'il consiste en un dispositif d'imagerie d'un rayonnement X, conforme à l'une quelconque des revendications 1 à 12.
- 25
14. Dispositif de mammographie, caractérisé en ce qu'il consiste en un dispositif d'imagerie d'un rayonnement X, conforme à l'une quelconque des revendications 1 à 12.
- 30

35

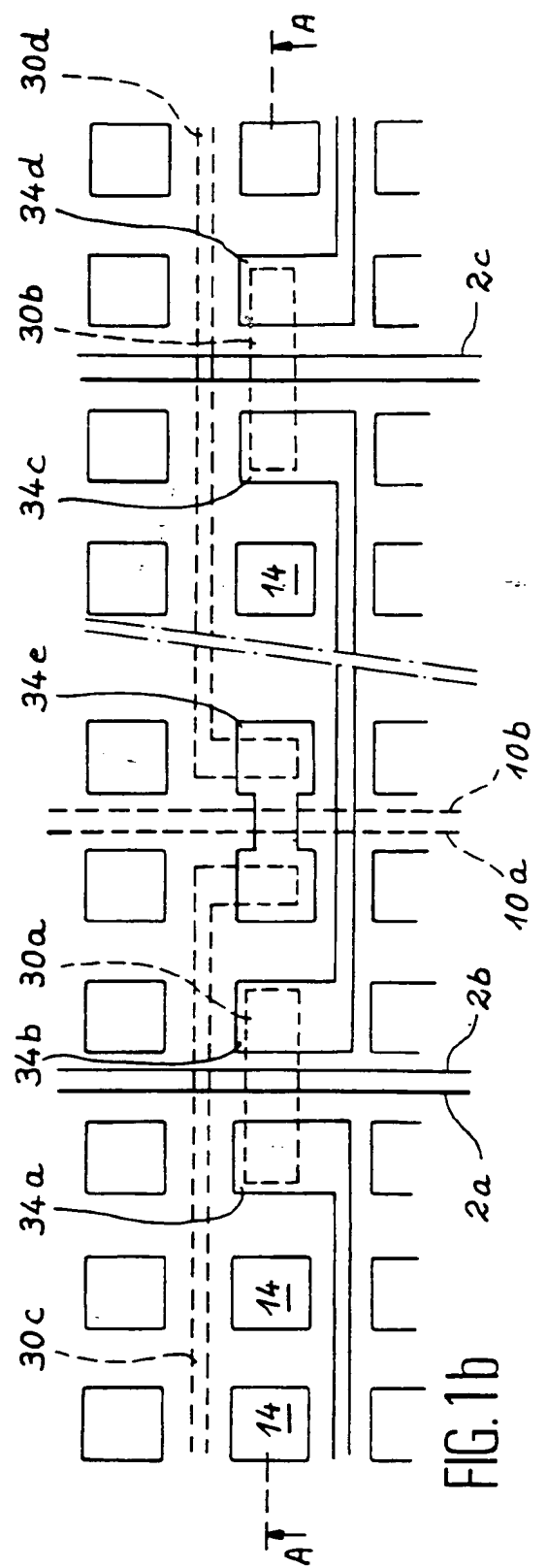
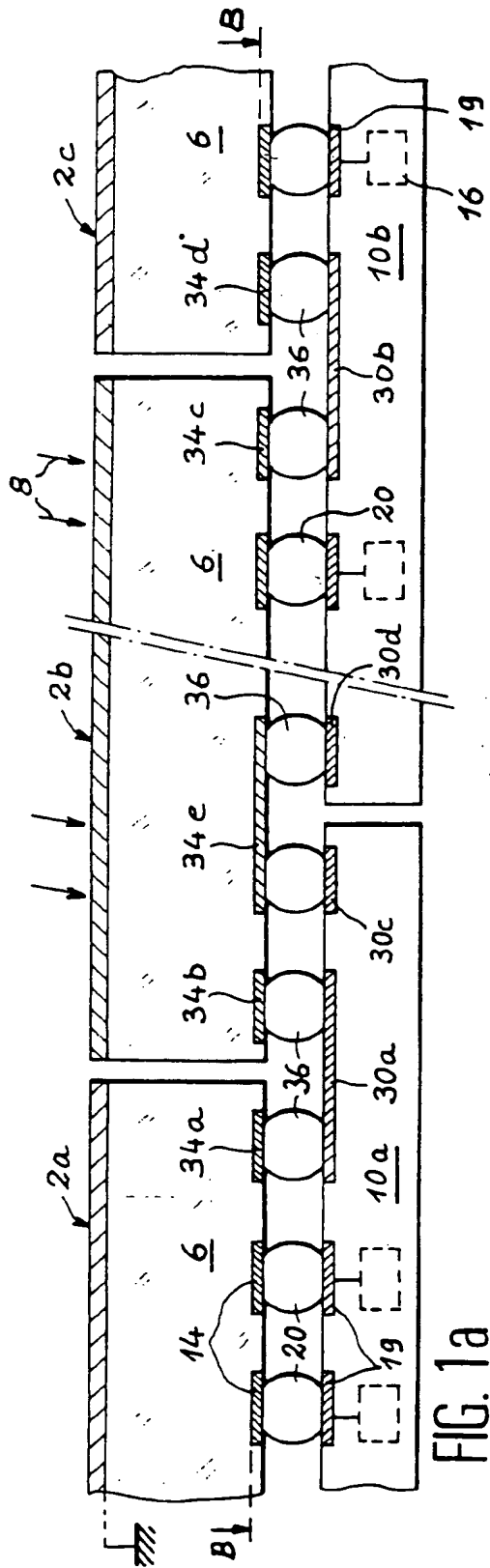
40

45

50

55

7





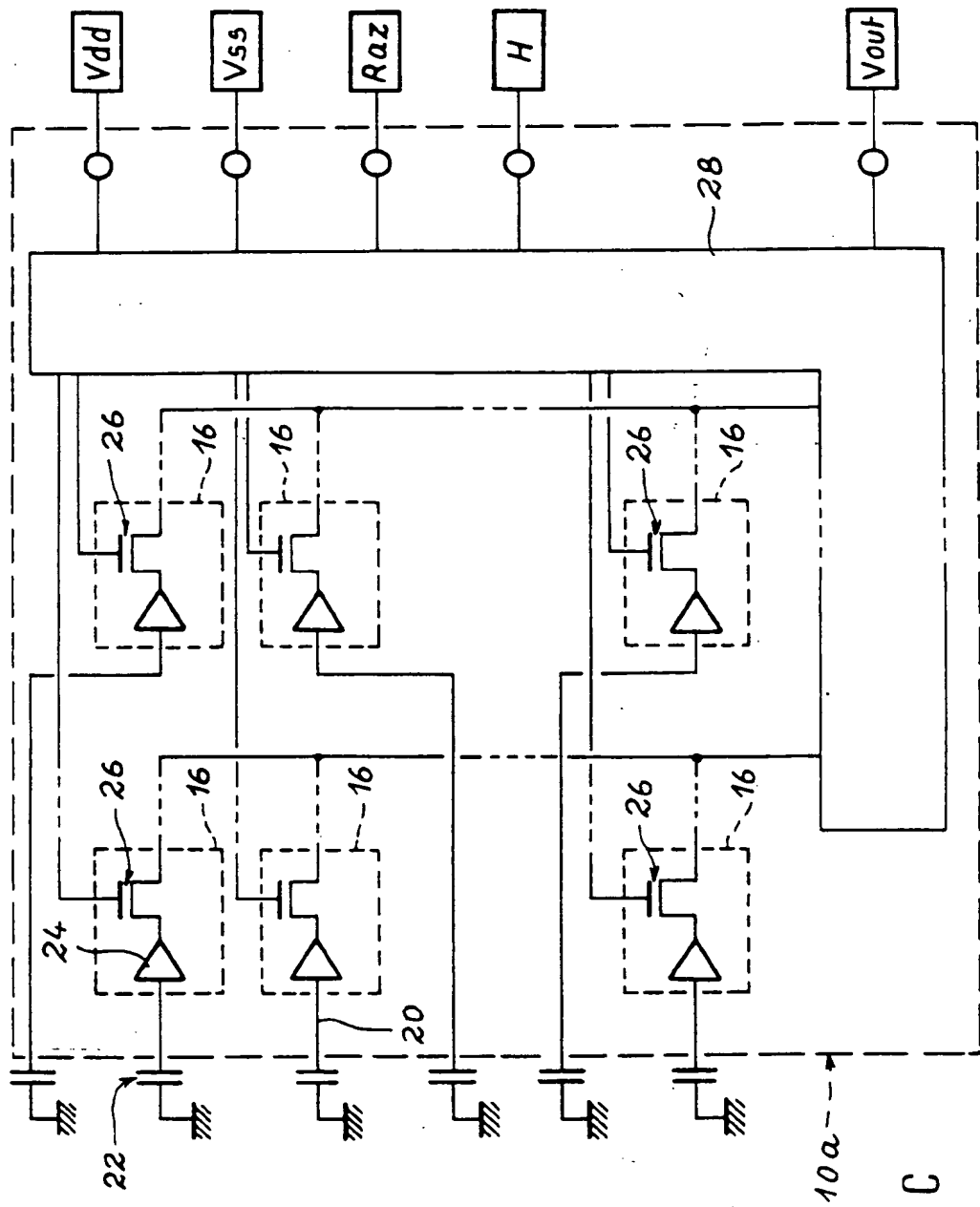


FIG. 1C

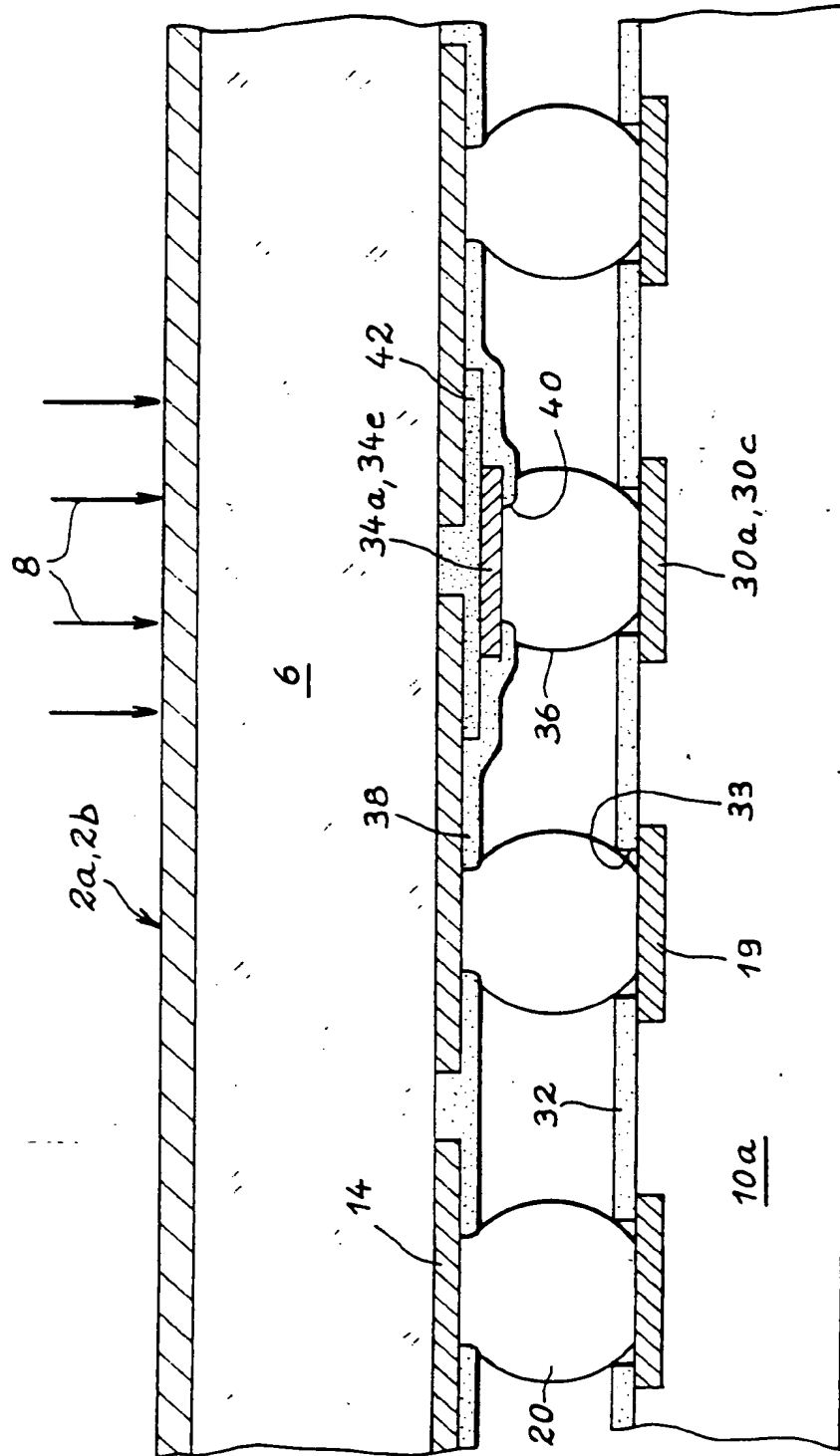
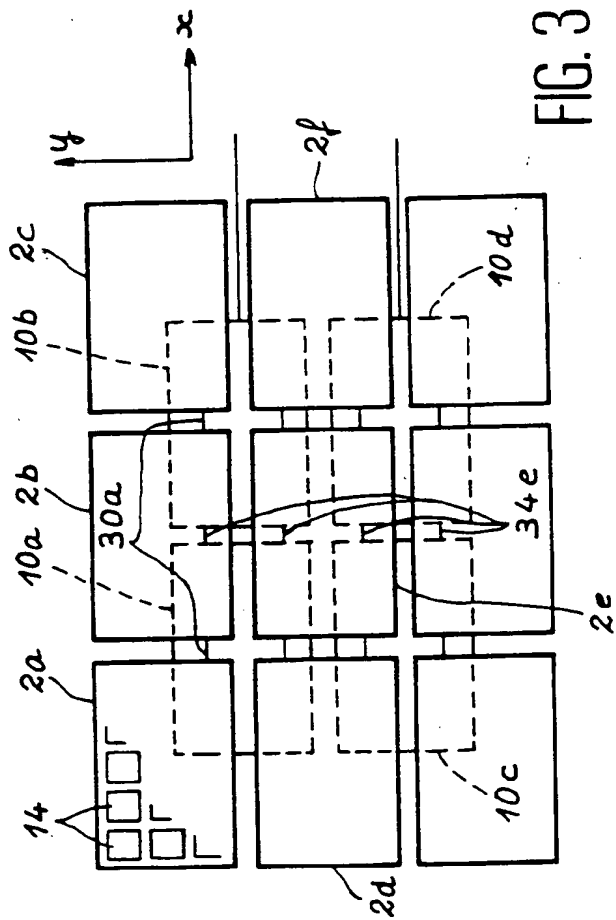


FIG. 2



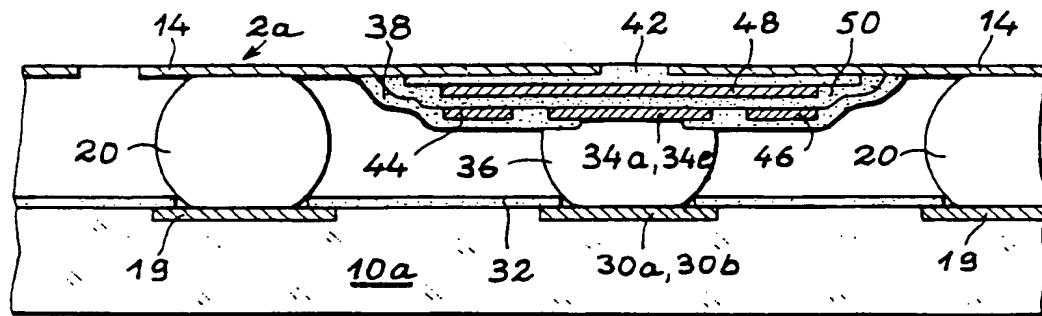


FIG. 4

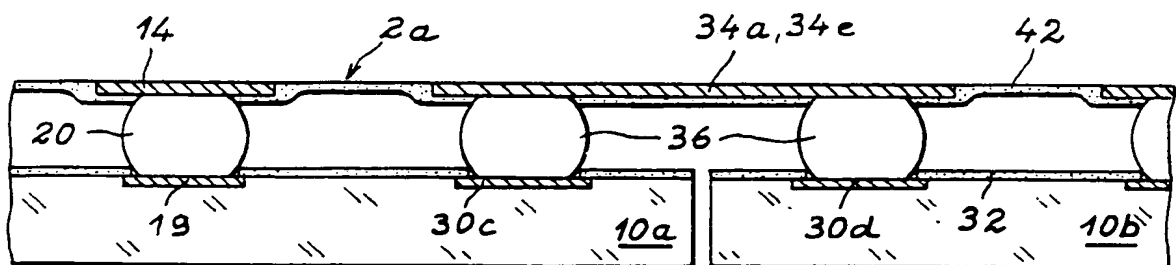


FIG. 5

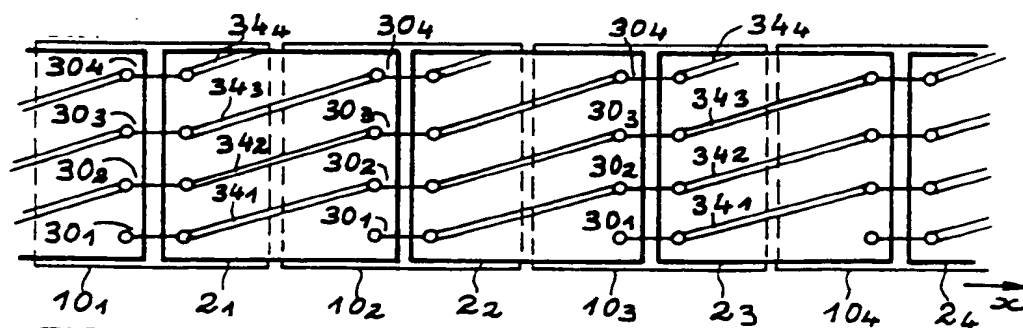


FIG. 6



Office européen  
des brevets

# RAPPORT DE RECHERCHE EUROPEENNE

Numero de la demande

EP 93 40 1655

DOCUMENTS CONSIDERES COMME PERTINENTS			
Catégorie	Citation du document avec indication, en cas de besoin, des parties pertinentes	Revendication concernée	CLASSEMENT DE LA DEMANDE (Int. Cl.5)
D,A	EP-A-0 462 345 (COMMISSARIAT A L'ENERGIE ATOMIQUE) * le document en entier *	1	H01L31/115 H01L27/146 H01L27/148 H01L25/04
D,A	EP-A-0 415 541 (SHIMADZU CORPORATION) * le document en entier *	1,3,12	
A	PATENT ABSTRACTS OF JAPAN vol. 6, no. 147 (E-123)(1025) 6 Août 1982 & JP-A-57 71 174 ( FUJITSU K.K. ) 1 Mai 1982 * abrégé *	1	
A	EP-A-0 485 115 (CINCINNATI ELECTRONICS CORPORATION) * colonne 7, ligne 15 - colonne 12, ligne 15 * * figures 3-9 *	1	
A	NUCLEAR INSTRUMENTS & METHODS IN PHYSICS RESEARCH vol. A275, no. 3, 1 Mars 1989, AMSTERDAM NL pages 580 - 586 S. L. SHAPIRO ET AL. 'SILICON PIN DIODE ARRAY HYBRIDS FOR CHARGED PARTICLE DETECTION'		
D,A	EP-A-0 245 147 (THOMSON-CSF)		DOMAINES TECHNIQUES RECHERCHES (Int. Cl.5)
Le présent rapport a été établi pour toutes les revendications			H01L
Lieu de la recherche LA HAYE		Date d'achèvement de la recherche 27 SEPTEMBRE 1993	Examineur VISENTIN A.
<p><b>CATEGORIE DES DOCUMENTS CITES</b></p> <p>X : particulièrement pertinent à lui seul Y : particulièrement pertinent en combinaison avec un autre document de la même catégorie A : arrière-plan technologique O : divulgation non-écrite P : document intercalaire</p> <p>T : théorie ou principe à la base de l'invention E : document de brevet antérieur, mais publié à la date de dépôt ou après cette date D : cité dans la demande L : cité pour d'autres raisons &amp; : membre de la même famille, document correspondant</p>			

EPO FORM L50 (03.92) (P0402)